

بررسی تحولات ماقمایی در سنگهای آتشفسانی بازی کواترنری محور قروه- تکاب

نوشته: سارا ملکوتیان، شهروز حق نظر**، منصور قربانی*** و محمد هاشم امامی****

*دانشگاه آزاد اسلامی- واحد علوم و تحقیقات، تهران، ایران ، **دانشگاه آزاد اسلامی - واحد لاهیجان، ایران

دانشگاه شهید بهشتی، تهران، ایران ، *سازمان زمین‌شناسی و اکتشافات معدنی کشور، تهران، ایران

Magmatic Evolution in Quaternary Basaltic Rocks in Ghorveh – Takab Axis

By: S. Malecootyan* , Sh. Hagh-Nazar **, M. Ghorbani*** & M. H Emami****

* Islamic Azad University, Science and Research Branch, Tehran, Iran, ** Islamic Azad University, Lahijan, Iran

** Shahid Beheshti University, Tehran, Iran, **** Geological Survey of Iran, Tehran, Iran

تاریخ پذیرش: ۱۳۸۵/۰۳/۱۵ تاریخ دریافت: ۱۳۸۵/۰۸/۱۵

چکیده

در این مقاله شواهد سنگ‌نگاری، ژئوشیمیایی و ایزوتوپی آلایش پوسته‌ای در سنگهای آتشفسانی بازی کواترنری محور قروه- تکاب ارائه می‌شود. این سنگها ترکیبی بین الیوین بازالت تا بازالت داشته و در نمودارهای ژئوشیمیایی در محدوده سری قیلایی قرار می‌گیرند. شواهدی چون حضور ییگانه سنگهای گنیسی، بیگانه بلورهای کوارتز با حاشیه و اکنشی وجود فنوبلاستهای بیوتیت در سنگهای بازی در منطقه مطالعه، همچنین بالا بودن میزان پتاسیم و نسبت بالای K_2O/P_2O_5 ، غنی شدگی نسبی LREE به HREE، نسبت بالای $^{87}Sr/^{86}Sr$ و نسبت پایین $^{143}Nd/^{144}Nd$ در این سنگها، همگی حکایت از آلایش یافتن ماقمای بازالتی با سنگهای پوسته قاره‌ای دارد.

کلید واژه‌ها: ایزوتوپ استرانسیم، ایزوتوپ نئودیمیم، آلایش پوسته‌ای

Abstract

Petrological, geochemical and isotropic evidence of crustal contamination of the Quaternary basic rocks of Ghorveh-Takab axis is presented in this paper. These rocks are olivine basalt and basalt and they are plotted in the field of alkaline suites in geochemical diagrams.

Some evidence, such as the presence of gneissic xenoliths, quartz xenocrysts with reaction rims and biotite phenoblasts in the basic rocks of the study area and high amount of potassium and high values of K_2O/P_2O_5 ratios, high concentration of LREE in comparison with HREE, high values of $^{87}Sr/^{86}Sr$ ratios and low values of $^{143}Nd/^{144}Nd$ ratios all indicate the crustal contamination of basic magma during its ascent.

Keywords: Sr isotope, Nd isotope, Crustal contamination

۱- مقدمه

طهمورث و ندری (در ورقه ۱۰۰، ۰۰۰: ۱۰۰ بیجار) و قره‌طوره (واقع در ورقه ۱۰۰، ۰۰۰: ۱۰۰ تکاب) رخمنون دارند.

۲- سنگ‌نگاری

مطالعات میکروسکوپی سنگهای آتشفسانی بازی محور قروه - تکاب نشان می‌دهد که این سنگها الیوین بازالت و بازالت است. نتایج بررسیهای

منطقه مورد مطالعه در محور قروه- تکاب بین طولهای جغرافیایی خاوری 47° تا 48° و عرض جغرافیایی شمالی 35° تا 36° در شمال باختری کشور و در استانهای کردستان و آذربایجان غربی واقع شده و جزو زون زمین ساختی سنتندج - سیرجان بهشمار می‌آید. در این محور چندین آتشفسان به سن پلیو- کواترنری وجود دارد به گونه‌ای که فورانهای بازی آنها در مناطق قزلجه کند، مهدی خان و ایلانلو (واقع در ورقه ۱۰۰، ۰۰۰: ۱۰۰ قروه)، احمدآباد،



خمیره در این سنگها از پیروکسن، شیشه و کانیهای کدر تشکیل شده است. سنگهای آتشفشانی بازی محور قروه- تکاب در نمودار مجموع قلیاییها (Cox et al., 1979) SiO_2 (در برابر $\text{Na}_2\text{O} + \text{K}_2\text{O}$) در محدوده موثر آریت، هماویت، بازالت، بازالت آندریتی قرار می‌گیرند. همچنین در این نمودار، نمونه‌ها در محدوده سری قلیایی قرار می‌گیرند (شکل ۶).

۱-۲- شواهد سنگنگاری تأثیر آلایش پوسته‌ای در روند تحولات ماقمایی سنگهای منطقه

ماگمایی تشکیل دهنده سنگهای بازی منطقه در حین بالا آمدن به طرف سطح زمین با پوسته قاره‌ای ستر و قدیمی آلایش یافته که از شواهد مهم سنگنگاری این آلودگی می‌توان به حضور بیگانه سنگهای نامتعارف (قطعات گنیسی) اشاره کرد که به صورت هسته‌های سفید رنگی در بمبهای آتشفشانی و گدازه‌های بازالتی آتشفشانهای منطقه دیده می‌شوند، وجود این بیگانه سنگها، پدیده هضم قطعات گنیسی توسط ماگمای بازالتی را نشان می‌دهد، زیرا این گنیسها متعلق به پی سنگ دیگر گون شده منطقه هستند (شکل ۷). وجود بیگانه بلورهای کوارتز با حاشیه واکنشی در الیوین بازالت و بازالت‌های محور قروه- تکاب از دیگر شواهد سنگنگاری آلایش پوسته‌ای در این سنگها به شمار می‌آید.

حضور کوارتز در الیوین بازالتها، هضم سنگهای اسیدی را در ماگمای تشکیل دهنده آنها تداعی می‌کند (شکل ۸).

همچنین بر اثر هضم سنگهای فلزیک (گنیسی) توسط ماگمای بازالتی، بلورهای پیروکسن سریع رشد یافته و تجمعاتی از بلورهای سوزنی شکل پیروکسن در این سنگها به وجود آمده است (شکل ۹).

همچنین وجود فنوبلاستهای بیوتیت در بازالت‌های منطقه مورد مطالعه، نشان دهنده غنی بودن این سنگها از پتاسیم است و می‌توان گفت که بالا بودن درجه قلیایینگی این بازالتها به علت آلایش ماگمای بازی با پوسته اسیدی است (شکل ۱۰).

۳- ژوئیمی

۱-۳- تعزیزه ژوئیمیایی

به منظور بررسی روند تکامل ماگما و پی بردن به ویژگیهای شیمیایی ماگمایی مادر سنگهای آتشفشانی منطقه مورد مطالعه، تعزیزه کمی شیمیایی (XRF) عناصر اصلی و فرعی تعداد ۲۵ نمونه از سنگهای منطقه توسط آزمایشگاه کانسaran بینالود و تعزیزه عناصر جزئی (Trace) و خاکی کمیاب (REE)، تعداد ۵ نمونه به روش ICP-MS توسط آزمایشگاه

سنگنگاری این سنگها به شرح زیر است:

الیوین بازالتها

بافت این سنگها پورفیری با خمیره میکرولیتی- شیشه‌ای، پورفیری با خمیره میکرولیتی- شیشه جریانی، پورفیری حفره‌ای و گاهی اینترستال است. در این سنگها، درشت بلورهایی که ۱۰ تا ۱۵ درصد حجم سنگ را تشکیل می‌دهند، شامل بلورهایی درشت الیوین می‌باشند که اغلب سالم هستند ولی به ندرت در برخی نمونه‌ها، دگرسانی سپاتینی و یا ایدنگزیتی را نشان می‌دهند (شکل‌های ۱ و ۲).

با اندازه گیری زاویه (2V) توسط صفحه یونیورسال، ترکیب شیمیایی دقیق درشت بلورهای الیوین در این سنگهای آتشفشانی مشخص شد. براساس این اندازه گیریها اندازه زاویه ۲V درشت بلورهای الیوین در سنگها ۹۰ درجه و از نوع کریزولیت است. میزان فورسترتیت این نمونه‌ها $Fo = 80\%-82\%$ است (شکل ۳).

در این سنگها، پیروکسن به صورت درشت بلورهای کوچک و بیشتر در خمیره سنگ حضور دارند. خمیره در این سنگها از پیروکسن، میکرولیتهای پلازیوکلاز، کانیهای کدر (تیتانومگنتیت) و شیشه تشکیل شده است. وجود فقط درشت بلورهای الیوین در این سنگها حاکی از تفریق بلورین جزئی ماگمای سنگها است. بنابراین ترکیب شیمیایی این سنگها باید به ترکیب شیمیایی اولیه ماگمای تشکیل دهنده آنها نزدیک باشد.

بازالتها

این سنگها دارای بافت پورفیری با خمیره میکرولیتی و بافت پورفیری با خمیره میکرولیتی- شیشه‌ای هستند.

در این سنگها، درشت بلورها شامل بلورهای پیروکسن، پلازیوکلاز و فنوبلاستهای بیوتیت است.

درشت بلورهای پیروکسن، اغلب شکل دار تانیمه شکل دار به رنگ خاکستری تا سبز روشن و دارای سطوح رخ عمود بر هم واضح است (شکل ۴).

با محاسبه اندازه زاویه بین محورهای نوری (2V) و اندازه زاویه بین ضربیت شکست n و جهت محور بلورشناسی C در درشت بلورهای پیروکسن مشخص شد که نوع این کانیها «اوژیت» است (شکل ۵).

درشت بلورهای پلازیوکلاز دارای دو قلویی آلبیت هستند. بیشینه زاویه خاموشی متقارن در دوقلوها آلبیت آنها 35° محاسبه شده و بر این اساس نوع آنها «لابرادوریت» است.

بلورهای ورقه‌ای شکل بیوتیت به رنگ قهوه‌ای هستند (شکل ۱۰).

شکل ۱۲ نمودار همبستگی ایزوتوپی $^{143}\text{Nd}/^{144}\text{Nd}$ در مقابل $^{87}\text{Sr}/^{86}\text{Sr}$ است. در این نمودار، یک نمونه از بازالتها (نمونه ۱ GT) در محدوده پوسته قاره‌ای قرار می‌گیرد که این محدوده به وسیله نسبت بالای Rb/Sr و در نتیجه $^{87}\text{Sr}/^{86}\text{Sr}$ بالا مشخص می‌شود.

با توجه به اینکه نسبت $^{87}\text{Sr}/^{86}\text{Sr}$ گوشته در محدوده‌ای بین ۰/۷۰۲ - ۰/۷۰۵ است، بنابراین سنگهای حاصل از ذوب گوشته باید نسبتها ایزومتریک باشند، اما اگر مانگمای مشق شده از گوشته، سنگهای $^{87}\text{Sr}/^{86}\text{Sr}$ پوسته قاره‌ای را هضم کند و یا به وسیله آنها آلایش یابد، نسبت $^{87}\text{Sr}/^{86}\text{Sr}$ در این سنگهای آلایش یافته، بالاتر از گوشته و نزدیک به مقادیر یافته شده در سنگهای پوسته‌ای می‌شود. بنابراین، قرار گرفتن این بازالت در محدوده پوسته قاره‌ای به دلیل آلایش مانگمای تشکیل دهنده آن با پوسته قاره‌ای است (Nelson, 2003).

همچنین در نمودار همبستگی ایزوتوپی Sr-Nd برای بازالتها، یک نمونه از بازالتها بررسی شده دارای نسبت $^{143}\text{Nd}/^{144}\text{Nd}$ بالا و نسبت $^{87}\text{Sr}/^{86}\text{Sr}$ آلایش مانگمای بازالتی پایین می‌باشد که به طور مشخص از یک منبع غنی شده (آلایش مانگمای بازالتی با پوسته قاره‌ای) حکایت دارد و دیگر نمونه‌های دارای ترکیب ایزوتوپی Sr و Nd = Bulk Earth می‌باشند. مطالعات Best (2001) نشان داده است که مانگمایی که در پوسته قاره‌ای سبیر به تکامل رسیده‌اند، به طور معمول دارای نسبتها ایزومتریک بازالتی می‌باشند. ولی ذکر این نکته ضروری است که بالا نبودن نسبت $^{87}\text{Sr}/^{86}\text{Sr}$ به تنها نمی‌تواند به عنوان شاهدی مبنی بر عدم آلایش محسوب شود.

آنچه که در منطقه مورد مطالعه مسلم است، این است که در تمام منطقه مورد مطالعه آلایش پوسته‌ای رخ داده و مانگمای بازالتی قلیایی در مقیاس وسیع با پوسته اسیدی قاره‌ای آلایش یافته است. این آلایش را به آسانی می‌توان با حضور قلوه‌های گنیسی در بمهای آتشفسانی و یا حضور بیگانه بلورهای کوارتز در الیوین بازالتها نشان داد ولی در برخی مناطق که هضم تا کامل شدن پیش‌رفته و تمام بیگانه بلورها در مانگما انجام‌داده، فقط شواهد شیمیایی و ایزوتوپی می‌توانند هضم / آلایش را نشان دهند.

بنابراین بالا نبودن نسبت $^{87}\text{Sr}/^{86}\text{Sr}$ در نمونه‌های دیگر به تنها نمی‌تواند عدم آلایش پوسته‌ای سنگهای بازالتی در طول محور قروه - تکاب نیست.

۴- نتیجه‌گیری

بازالتها جوان محور قروه - تکاب که در یک محیط زمین‌ساختی درون صفحه‌ای قاره‌ای رخنمون یافته‌اند، از درجات پایین ذوب بخشی گوشته

(Ontario Geological Survey) OGS همچنین ۵ نمونه از بازالتها منطقه پس از مطالعات سنگ‌نگاری و ژئوشیمیایی برای مطالعات ایزوتوپی به کانادا فرستاده شد و در آزمایشگاه ایزوتوپی و دانشگاه Carleton اوتاوا مورد تجزیه قرار گرفتند و نسبتها ایزوتوپی و آنها محاسبه شد.

۲-۳- ژئوشیمی عناصر اصلی و فرعی

بر اساس نتایج تجزیه شیمیایی (XRF)، درصد سیلیس بازالتها مورد مطالعه بین ۴۷/۶۸ تا ۵۳/۹۸ درصد است. مجموع قلاییها ($\text{Na}_2\text{O} + \text{K}_2\text{O}$) در این سنگها بالا و بین ۴/۴۱٪ - ۸/۸۶٪ است. بر اساس نسبت $\text{K}_2\text{O}/\text{Na}_2\text{O}_5$ سنگهای بازالتی منطقه را می‌توان به دو گروه، یکی غنی از پتاسیم که در آنها $\text{K}_2\text{O}/\text{Na}_2\text{O}_5 < 1$ و دیگری گروه متوسط که در آنها $< 1 < \text{K}_2\text{O}/\text{Na}_2\text{O}_5 < 1$ است تقسیم کرد. بالا بودن میزان پتاسیم در این سنگها نشان دهنده آلایش پوسته‌ای آنهاست.

در نمودار شکل ۱۱، که در آن میانگین غلظت عناصر نادر خاکی کمیاب (REE) نمونه‌های مورد مطالعه به وسیله تقسیم غلظت هر عنصر به غلظت یافت شده در کناریت، بهنجار شده‌اند مشخص است که سنگهای بازالتی مورد مطالعه از درجه پایین ذوب بخشی سنگهای گوشته‌ای حاصل شده‌اند، زیرا از REE سبک غنی و از سنگین تهی شده‌اند.

غنی شدگی نسبی LREE به HREE و همچنین بی هنجاریهای مشبت و مشخصی که این بازالتها از عناصری مانند Ba، Rb، Th، U، K نشان می‌دهند، می‌تواند بیانگر تأثیر و آغشته‌گی پوسته با مانگمای اولیه آنها باشد. همچنین بر اساس پروژه مطالعاتی آتشفسانی بازالتی (۱۹۸۱)، می‌دانیم که اغلب مانگمایی‌ها مشق شده از گوشته، دارای نسبت $\text{K}_2\text{O}/\text{P}_2\text{O}_5 < 2$ هستند اما آلایش پوسته‌ای می‌تواند باعث افزایش این نسبت شود (Carlson & Hart, 1988). مطالعات نشان می‌دهد که نسبت $\text{K}_2\text{O}/\text{P}_2\text{O}_5$ در بازالتها محور قروه - تکاب بیشتر از ۲ و بسیار متغیر است و حداقل به ۴/۳۱ می‌رسد که بالا بودن و متغیر بودن این نسبت می‌تواند به علت آلایش پوسته‌ای باشد (جدول ۱).

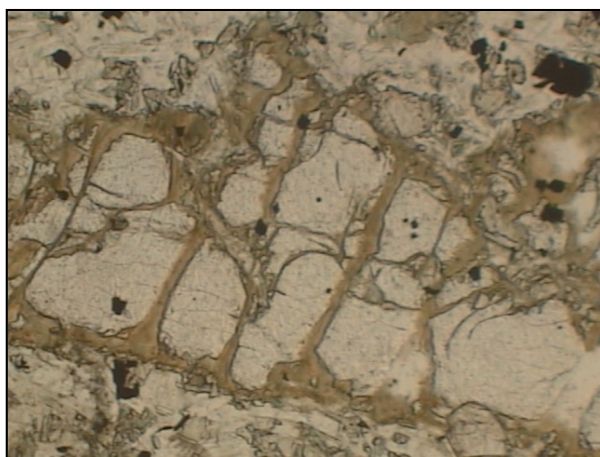
۳-۳- شواهد ایزوتوپی آلایش پوسته‌ای بر اساس نسبت ایزوتوپیها

$^{143}\text{Nd}/^{144}\text{Nd}$ و $^{87}\text{Sr}/^{86}\text{Sr}$ پرتوزا با توجه به نقش مهم ایزوتوپهای پرتوزا و نمودارهای همبستگی ایزوتوپی برای تشخیص فرایندهای مختلف سنگ‌شناختی مانند آلایش مانگمایی، نسبت عناصر پرتوزا $^{87}\text{Sr}/^{86}\text{Sr}$ و $^{143}\text{Nd}/^{144}\text{Nd}$ ، ۵ نمونه از بازالتها جوان محور قروه - تکاب در دانشگاه کارلتون کانادا محاسبه شد (جدول ۲).

در حین صعود به طرف سطح زمین در برخی مناطق با پوسته قاره‌ای قدیمی و ستر نیز آلایش یافته و دچار آلودگی پوسته‌ای شده است. این آغشتنگی را به آسانی می‌توان با حضور قلوه‌های گنیسی و یگانه بلورهای کوارتز در الیوین بازالتها و شواهد متعدد ژئوشیمیایی و ایزوتوبی از جمله بالا بودن نسبت $\frac{^{87}\text{Sr}}{^{86}\text{Sr}}$ نشان داد.

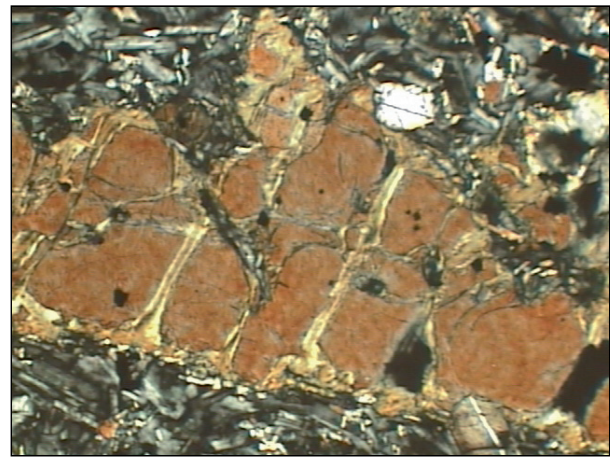
بالایی حاصل شدند. تبلور بخشی جزئی ماقمای تولید شده در ژرفاها زمین باعث جدا شدن تدریجی الیوین، کلینوپیروکسن، پلازیوکلاز کلسیک و تیتانومگنتیت از ماقمای باقیمانده و اسیدی‌تر شدن این ماقما شده است. ماقمای حاصل توسط فعالیتهای زمین‌ساختی کششی و گسلهای محلی به سطح راه پیدا کرده و منجر به فوران بازالت در منطقه شده است. این ماقما

بدون آنالیز

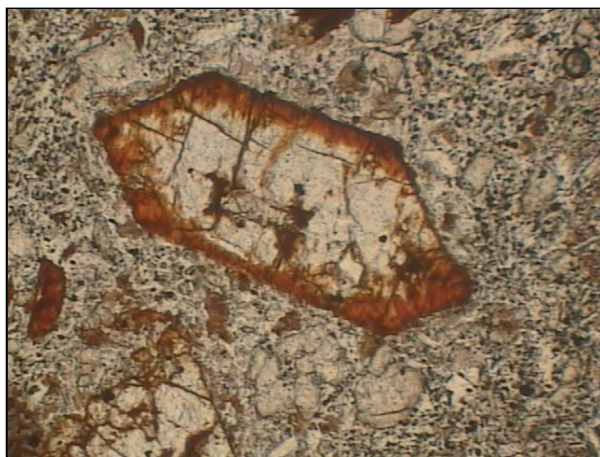


0.3 mm

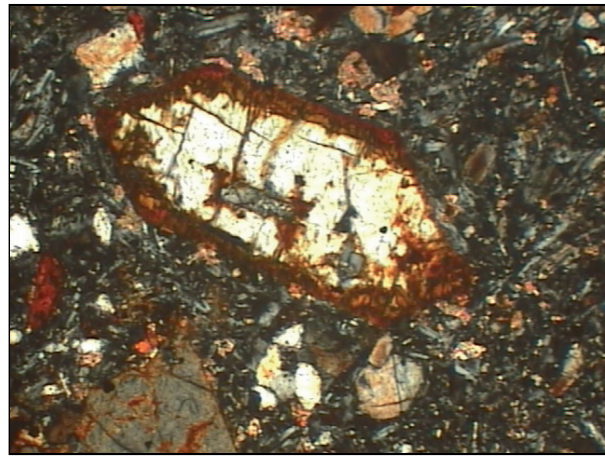
با آنالیز



شکل ۱ - درشت بلورهای الیوین که در امتداد درزهای شکستگیها به سرپانتین تعزیز شده است.

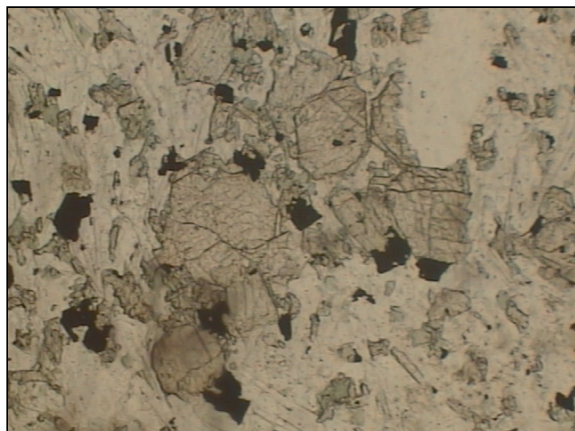
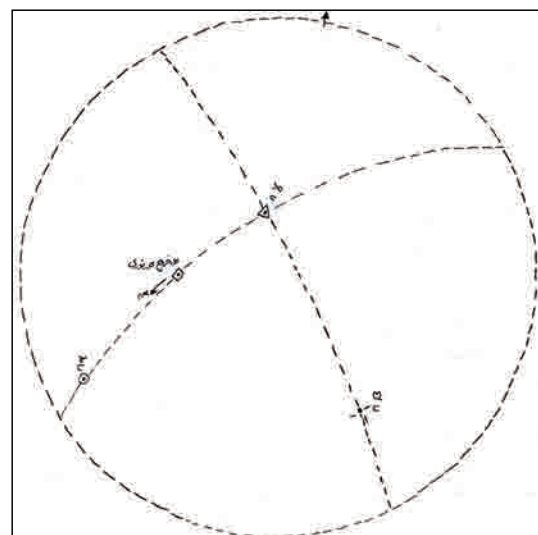


0.3 mm

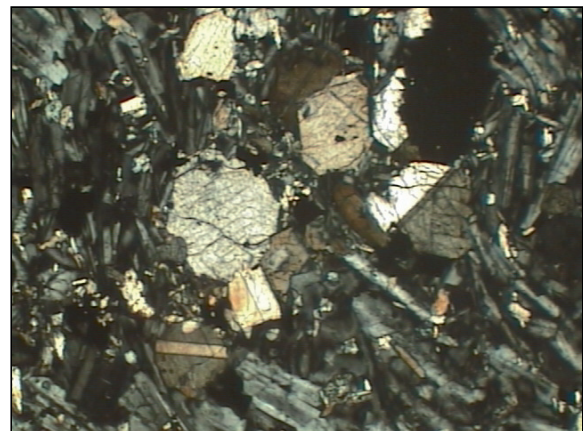


شکل ۲ - بلور الیوین ایدنگریتی شده

شکل ۳- تصویر استریوگرافیک اندیکاتریکس یک نمونه از بلورهای الیون سنگهای آتشفشاری محور قروه- تکاب، اندازه بین محورهای نوری ($2\gamma = 90^\circ$) محاسبه شده است. میزان $Fo = 82\%$ و نوع کانی «کریزوولیت» است.

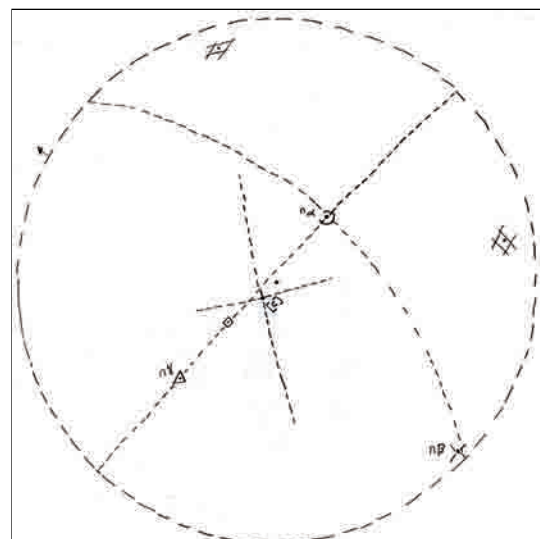


— 0.3 mm

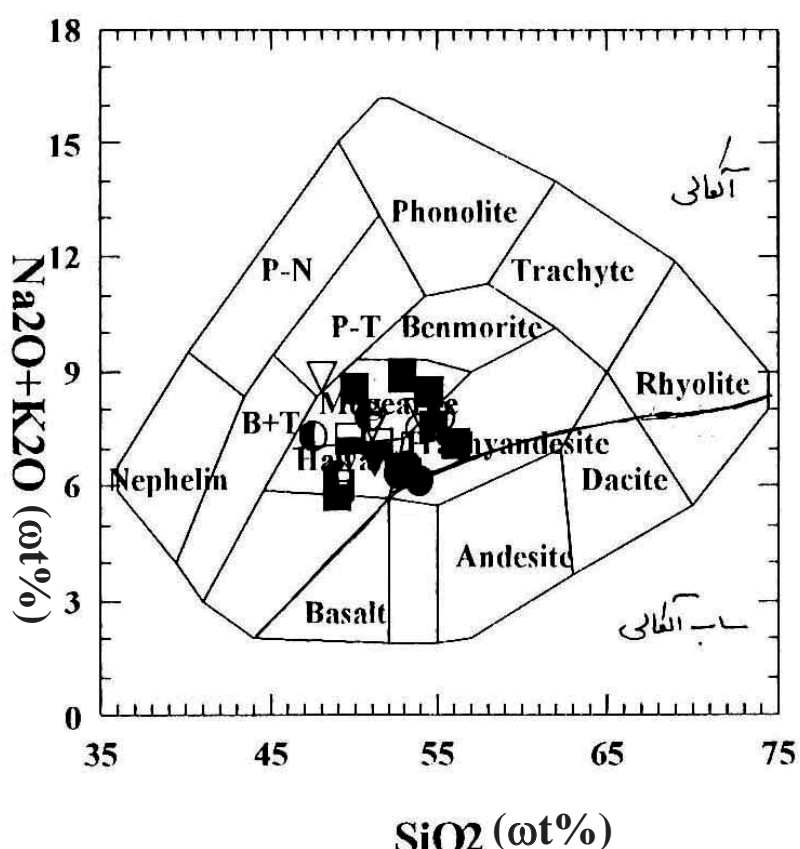


شکل ۴- درشت بلورهای پیروکسن در بازالت‌های منطقه

شکل ۵- تصویر استریوگرافیک اندیکاتریکس یک نمونه از بلورهای پیروکسن سنگهای آتشفشاری محور قروه- تکاب. در این نمونه اندازه زاویه بین محورهای نوری $2\gamma = 56^\circ$ و اندازه زاویه بین ضریب شکست $n_{\text{D}} - n_{\text{C}}$ و جهت محور بلورشناختی محاسبه شده است. نوع این پیروکسن «اوژیت» است.



- AHMAD ABAD
- GHEZELCHE KAND
- GARE TOOREH
- ILANLOO
- ◐ MEHDI KHAN
- ◆ KUH SIAH
- ▽ NADRI
- ▼ TAHMOORES

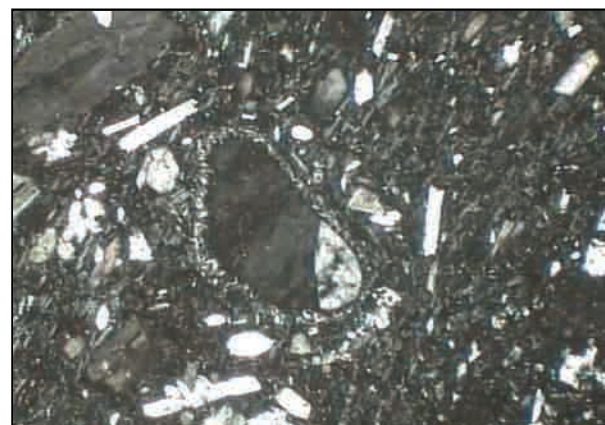


شکل ۶- نمودار نامگذاری سنگهای آتشفشانی و تفکیک سری

نیمه قلیابی از سری قلیابی (Cox et al., 1979)

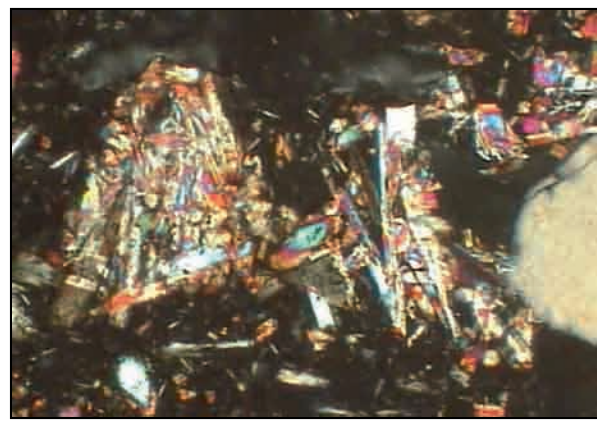
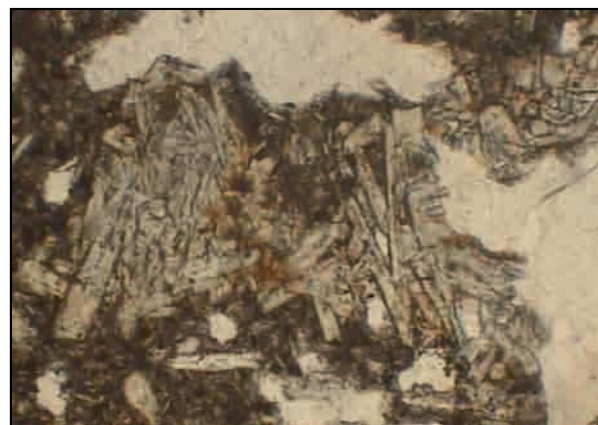


شکل ۷- میانبارهای سفید رنگ گنیس که در اطراف توسط بازالت احاطه شده‌اند



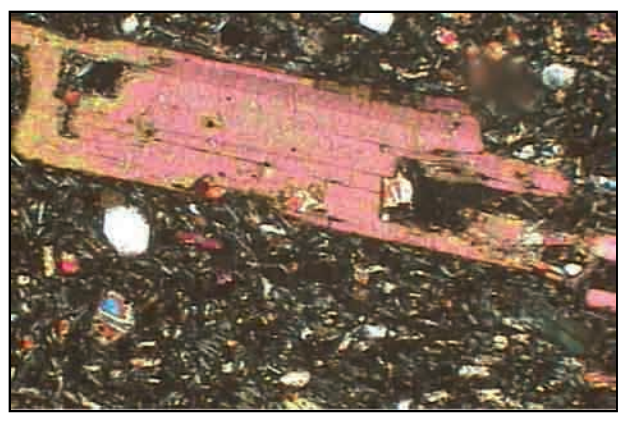
0.3 mm

شکل ۸- بلور کوارتز با حاشیه واکنشی در الیوین بازالت‌های منطقه



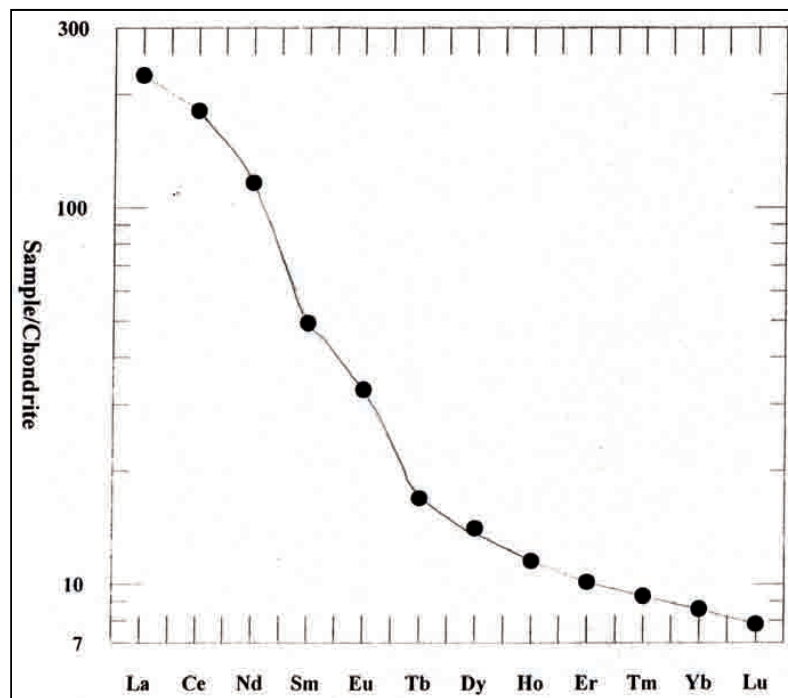
0.3 mm

شکل ۹- تجمع پیروکسن سوزنی شکل در سنگهای منطقه

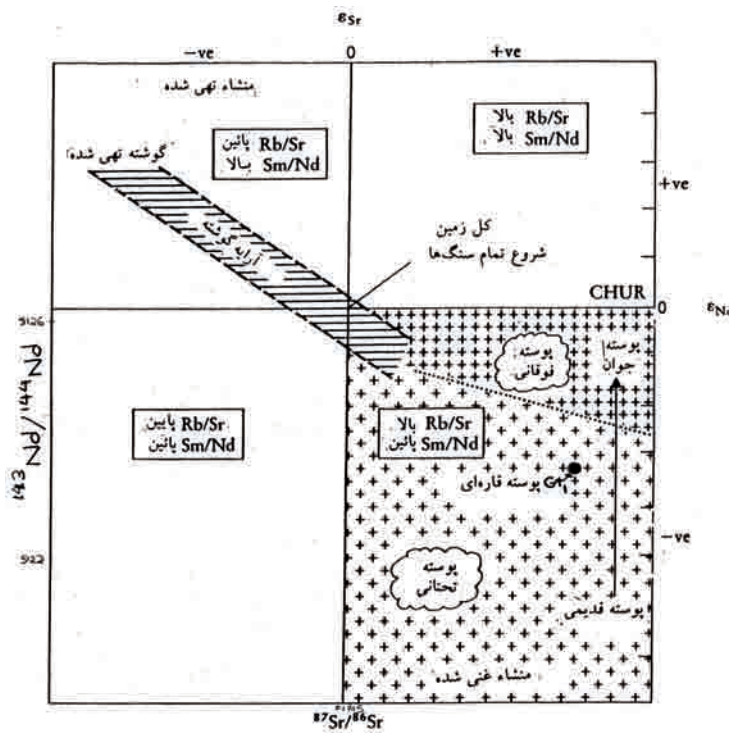


0.3 mm

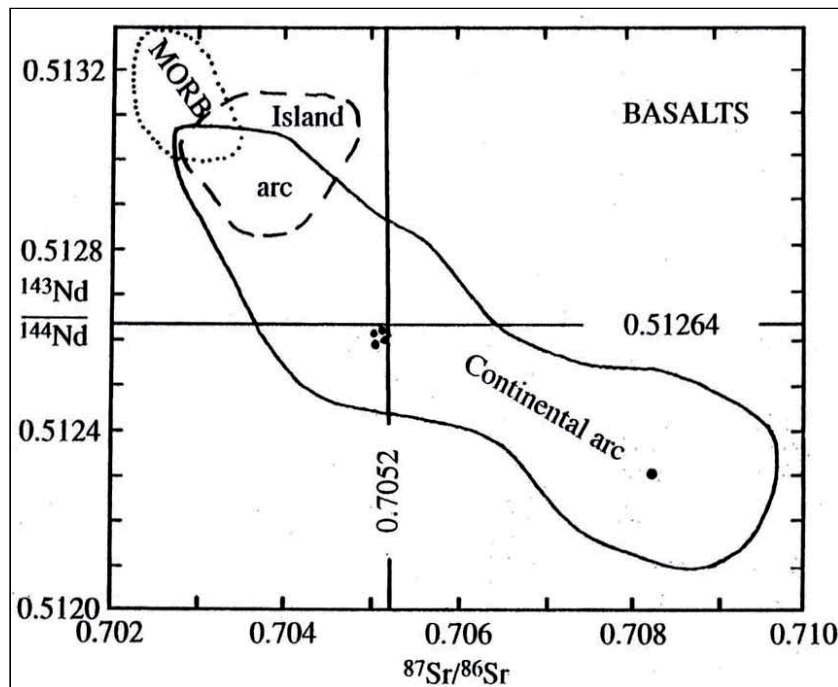
شکل ۱۰- فنوبلاست بیوتیت در خمیرهای از میکرولیتهای پلازیوکلاز و ریزبلورهای پیروکسن



شکل ۱۱- این نمودار بر اساس میانگین غلظتهاي REE نمونه‌های مورد مطالعه نسبت به کندریت رسم شده است که نمونه‌های مورد مطالعه غنی از LREE و تهی از HREE می‌باشد که این مسئله بیانگر پایین بودن آهنگ ذوب بخشی می‌باشد.



شکل ۱۲- نمودار همبستگی $\frac{^{87}Sr}{^{86}Sr}$ در مقابل $\frac{^{143}Nd}{^{144}Nd}$ (Depaolo & Wasserburg, 1979)



شکل ۱۳ - نمودار همبستگی $\frac{^{143}\text{Nd}}{^{144}\text{Nd}}$ برای بازالتها در برابر $\frac{^{87}\text{Sr}}{^{86}\text{Sr}}$ (Tatsumi & Eggins 1995)

جدول ۱ - نسبت $K_2O/\text{P}_2\text{O}_5$ در سنگهای بازی منطقه مورد مطالعه

| Sample | $K_2O/\text{P}_2\text{O}_5$ |
|--------|-----------------------------|
| AH-1 | 2.27 |
| AH-2 | 2.61 |
| F-1 | 3.9 |
| F-6 | 4.17 |
| F-7 | 4.15 |
| F-8 | 4.2 |
| GH-10 | 2.49 |
| GH-11 | 2.72 |
| GH-12 | 2.5 |
| GH-14 | 2.87 |
| GH-5 | 2 |
| GT-1 | 4.31 |
| GT-2 | 3.9 |
| GT-3 | 3.85 |
| GT-5 | 4.04 |
| MS-2 | 2.3 |
| MS-4 | 2.09 |
| N-4 | 2.39 |
| N-6 | 2.13 |
| T-4 | 2.2 |
| IL1 | 3.21 |
| IL6 | 2.96 |
| T-1 | 3.54 |
| T-3 | 4.21 |
| T-5 | 2.39 |

جدول ۲ - نتایج تجزیه ایزوتوپی بازالت‌های کواترنری محوره قروه- تکاب

| | A | B | C | D | E | F |
|----|-----------------------|-------------|----------|----------|----------|----------|
| 1 | DATE | Sept. 20/05 | | / | | |
| 2 | | ووهدره | ایلانلو | ملجه‌له | هدخون | ضهرت |
| 3 | Sample Name | GT.1 | IL.2 | GH.14 | N.6 | T.4 |
| 4 | 143Nd/144Nd (meas) | 0.512346 | 0.512665 | 0.512641 | 0.512662 | 0.512660 |
| 5 | 2-sigma | 0.000000 | 0.000000 | 0.000000 | 0.000000 | 0.000000 |
| 6 | | | | | | |
| 7 | Nd (ppm) | 16.15 | 39.42 | 47.57 | 31.26 | 28.26 |
| 8 | Total Sm | 4.13 | 6.53 | 8.45 | 5.91 | 5.52 |
| 9 | 147Sm/144Nd | 0.1546 | 0.1001 | 0.1074 | 0.1143 | 0.1181 |
| 10 | | | | | | |
| 11 | Eps Nd (CHUR)T | -5.70 | 0.54 | 0.07 | 0.47 | 0.44 |
| 12 | Tdm (0.214, 0.513115) | 1967 | 602 | 678 | 693 | 724 |
| 13 | | | | | | |
| 14 | 87Sr/86Sr | 0.70836 | 0.70509 | 0.70487 | 0.70499 | 0.70475 |
| 15 | 2-sigma | 0.00001 | 0.0 | 0.00002 | 0.000010 | 0.0 |

جدول ۳ - نتایج تجزیه شیمیایی (XRF) عناصر اصلی و جزئی ۲۵ نمونه از سنگهای بازی منطقه مورد مطالعه

| Sample | SiO ₂ | Al ₂ O ₃ | Fe ₂ O ₃ | CaO | Na ₂ O | MgO | K ₂ O | TiO ₂ | MnO | P ₂ O ₅ |
|--------|------------------|--------------------------------|--------------------------------|-------|-------------------|------|------------------|------------------|-------|-------------------------------|
| AH-1 | 53.93 | 12.14 | 7.96 | 9.20 | 4.53 | 5.44 | 2.97 | 1.650 | 0.115 | 1.304 |
| AH-2 | 53.20 | 13.02 | 7.34 | 8.41 | 4.78 | 4.70 | 3.03 | 1.515 | 0.107 | 1.160 |
| F-1 | 53.60 | 14.29 | 9.00 | 7.64 | 3.09 | 6.28 | 1.42 | 1.132 | 0.122 | 0.364 |
| F-6 | 53.98 | 14.38 | 9.01 | 7.70 | 3.01 | 5.90 | 1.40 | 1.063 | 0.130 | 0.335 |
| F-7 | 53.34 | 15.11 | 8.91 | 8.09 | 3.19 | 5.58 | 1.48 | 1.052 | 0.131 | 0.356 |
| F-8 | 53.00 | 13.97 | 8.98 | 7.39 | 3.04 | 6.60 | 1.49 | 1.094 | 0.130 | 0.352 |
| GH-10 | 53.50 | 13.39 | 6.63 | 8.87 | 5.08 | 4.24 | 3.36 | 1.391 | 0.092 | 1.348 |
| GH-11 | 50.04 | 13.54 | 7.46 | 10.30 | 5.32 | 5.28 | 3.21 | 1.413 | 0.104 | 1.178 |
| GH-12 | 52.87 | 14.13 | 6.99 | 9.06 | 5.44 | 4.34 | 3.41 | 1.446 | 0.098 | 1.359 |
| GH-14 | 53.90 | 12.81 | 7.47 | 8.23 | 4.59 | 5.35 | 2.54 | 1.390 | 0.109 | 0.885 |
| GH-5 | 53.84 | 11.45 | 7.36 | 9.96 | 4.64 | 4.83 | 2.91 | 1.520 | 0.103 | 1.451 |
| GT-1 | 53.97 | 13.15 | 8.23 | 7.03 | 2.67 | 6.29 | 3.49 | 1.456 | 0.125 | 0.808 |
| GT-2 | 53.21 | 13.62 | 8.63 | 7.49 | 3.32 | 6.44 | 3.20 | 1.500 | 0.129 | 0.809 |
| GT-3 | 52.98 | 13.82 | 8.58 | 7.33 | 3.12 | 6.54 | 3.23 | 1.502 | 0.130 | 0.838 |
| GT-5 | 52.71 | 13.38 | 8.60 | 7.11 | 3.12 | 7.15 | 3.20 | 1.497 | 0.130 | 0.791 |
| IL-1 | 49.84 | 13.07 | 8.26 | 10.01 | 3.72 | 6.15 | 3.49 | 1.572 | 0.114 | 1.086 |
| IL-6 | 51.52 | 11.94 | 8.80 | 10.03 | 4.31 | 7.38 | 2.79 | 1.607 | 0.121 | 0.941 |
| MS-2 | 53.78 | 13.02 | 7.50 | 8.78 | 4.70 | 4.59 | 3.16 | 1.591 | 0.106 | 1.373 |
| MS-4 | 51.04 | 12.80 | 7.88 | 10.71 | 4.46 | 4.25 | 3.09 | 1.640 | 0.118 | 1.477 |
| N-4 | 49.08 | 13.13 | 9.08 | 11.03 | 4.10 | 5.36 | 2.16 | 1.710 | 0.126 | 0.903 |
| N-6 | 50.96 | 14.11 | 9.12 | 9.01 | 5.38 | 5.25 | 2.41 | 1.786 | 0.123 | 1.127 |
| T-1 | 53.02 | 14.17 | 8.64 | 8.62 | 3.63 | 4.18 | 2.68 | 1.634 | 0.123 | 0.755 |
| T-3 | 52.57 | 14.36 | 9.06 | 8.01 | 3.06 | 6.47 | 1.39 | 1.110 | 0.135 | 0.330 |
| T-4 | 51.25 | 15.04 | 8.69 | 9.03 | 4.08 | 4.12 | 2.57 | 1.714 | 0.128 | 0.779 |
| T-5 | 52.51 | 15.20 | 8.16 | 8.64 | 4.55 | 3.79 | 1.93 | 1.637 | 0.117 | 0.805 |

ادامه جدول ۳- نتایج تجزیه شیمیایی (XRF) عناصر اصلی و جزئی ۲۵ نمونه از سنگهای بازی منطقه مورد مطالعه

| Sample | L.O.I | Cl | S | Ba | Ce | Ga | Hf | Co | Cr | Cu |
|--------|-------|-----|------|------|-----|-----|-----|-----|-----|-----|
| | % | ppm | ppm | ppm | ppm | ppm | ppm | ppm | ppm | ppm |
| AH-1 | 0.13 | 628 | 392 | 1682 | 290 | 15 | 24 | 24 | 143 | 60 |
| AH-2 | 0.34 | 601 | 491 | 1722 | 355 | 19 | 25 | 21 | 147 | 72 |
| F-1 | 2.44 | 48 | 15 | 393 | 81 | 22 | 20 | 27 | 182 | 46 |
| F-6 | 2.46 | 13 | 14 | 374 | 105 | 14 | 19 | 33 | 198 | 59 |
| F-7 | 2.25 | 57 | 12 | 349 | 145 | 16 | 24 | 34 | 198 | 48 |
| F-8 | 2.44 | 50 | 10 | 375 | 102 | 27 | 28 | 28 | 187 | 51 |
| GH-10 | 0.60 | 570 | 1820 | 1288 | 304 | 15 | 24 | 21 | 106 | 82 |
| GH-11 | 1.74 | 528 | 1493 | 1164 | 346 | 16 | 16 | 18 | 95 | 77 |
| GH-12 | 0.60 | 568 | 1751 | 1422 | 221 | 13 | 25 | 12 | 94 | 81 |
| GH-14 | 0.33 | 402 | 63 | 1014 | 175 | 18 | 24 | 26 | 215 | 63 |
| GH-5 | 0.44 | 630 | 1844 | 1324 | 314 | 20 | 21 | 16 | 109 | 80 |
| GT-1 | 2.38 | 108 | 14 | 732 | 146 | 15 | 20 | 27 | 228 | 50 |
| GT-2 | 1.17 | 109 | 16 | 662 | 139 | 14 | 15 | 27 | 259 | 45 |
| GT-3 | 1.59 | 79 | 12 | 707 | 165 | 19 | 14 | 21 | 251 | 76 |
| GT-5 | 1.67 | 55 | 20 | 647 | 122 | 21 | 25 | 24 | 246 | 57 |
| IL-1 | 2.25 | 588 | 805 | 1169 | 247 | 16 | 27 | 27 | 224 | 98 |
| IL-6 | 0.18 | 574 | 675 | 1125 | 344 | 15 | 29 | 31 | 271 | 100 |
| MS-2 | 0.96 | 537 | 256 | 1605 | 275 | 18 | 20 | 22 | 144 | 63 |
| MS-4 | 2.04 | 556 | 3929 | 1496 | 359 | 17 | 15 | 25 | 131 | 75 |
| N-4 | 3.00 | 570 | 14 | 751 | 176 | 14 | 28 | 26 | 152 | 58 |
| N-6 | 0.28 | 612 | 12 | 801 | 321 | 13 | 26 | 24 | 179 | 55 |
| T-1 | 2.06 | 813 | 10 | 970 | 158 | 15 | 23 | 22 | 105 | 49 |
| T-3 | 3.00 | 9 | 14 | 364 | 12 | 18 | 16 | 24 | 188 | 54 |
| T-4 | 2.17 | 549 | 18 | 900 | 226 | 14 | 25 | 21 | 94 | 60 |
| T-5 | 2.09 | 540 | 15 | 873 | 230 | 15 | 20 | 21 | 108 | 70 |

ادامه جدول ۳- نتایج تجزیه شیمیایی (XRF) عناصر اصلی و جزئی ۲۵ نمونه از سنگهای بازی منطقه مورد مطالعه

| Sample | Nb | Ni | Pb | Rb | Sr | V | W | Y | Zr | Zn |
|--------|-----|-----|-----|-----|------|-----|-----|-----|-----|-----|
| | ppm | ppm | ppm | ppm | ppm | ppm | ppm | ppm | ppm | ppm |
| AH-1 | 29 | 147 | 17 | 48 | 1478 | 136 | <1 | 16 | 288 | 94 |
| AH-2 | 28 | 151 | 21 | 52 | 1483 | 133 | <1 | 16 | 275 | 87 |
| F-1 | 6 | 114 | 12 | 27 | 501 | 125 | <1 | 13 | 116 | 74 |
| F-6 | 15 | 125 | 10 | 25 | 850 | 130 | <1 | 13 | 122 | 74 |
| F-7 | 12 | 129 | 8 | 26 | 736 | 127 | <1 | 13 | 119 | 74 |
| F-8 | 8 | 124 | 23 | 27 | 474 | 125 | <1 | 14 | 117 | 76 |
| GH-10 | 29 | 137 | 18 | 48 | 1655 | 110 | <1 | 16 | 274 | 84 |
| GH-11 | 29 | 145 | 24 | 47 | 1590 | 108 | <1 | 15 | 258 | 89 |
| GH-12 | 32 | 137 | 23 | 51 | 1649 | 107 | <1 | 16 | 265 | 82 |
| GH-14 | 26 | 161 | 22 | 44 | 1071 | 136 | <1 | 14 | 192 | 85 |
| GH-5 | 35 | 169 | 18 | 43 | 1740 | 125 | <1 | 16 | 282 | 100 |
| GT-1 | 24 | 153 | 7 | 135 | 542 | 145 | <1 | 22 | 233 | 68 |
| GT-2 | 26 | 164 | 7 | 65 | 429 | 156 | <1 | 17 | 235 | 69 |
| GT-3 | 22 | 157 | 15 | 107 | 467 | 150 | <1 | 21 | 234 | 75 |
| GT-5 | 24 | 152 | 20 | 90 | 446 | 147 | <1 | 20 | 230 | 75 |
| IL-1 | 23 | 253 | 18 | 40 | 1849 | 143 | <1 | 15 | 232 | 85 |
| IL-6 | 27 | 253 | 18 | 38 | 1911 | 151 | <1 | 15 | 240 | 92 |
| MS-2 | 34 | 151 | 24 | 52 | 1395 | 127 | <1 | 16 | 287 | 95 |
| MS-4 | 36 | 143 | 24 | 50 | 1404 | 116 | <1 | 16 | 247 | 87 |
| N-4 | 32 | 137 | 7 | 37 | 1171 | 144 | <1 | 15 | 190 | 108 |
| N-6 | 33 | 168 | 9 | 41 | 1273 | 155 | <1 | 15 | 211 | 91 |
| T-1 | 29 | 122 | 17 | 37 | 1329 | 147 | <1 | 15 | 212 | 83 |
| T-3 | 11 | 129 | 12 | 25 | 562 | 126 | <1 | 12 | 117 | 73 |
| T-4 | 34 | 113 | 8 | 41 | 1245 | 145 | <1 | 15 | 211 | 77 |
| T-5 | 30 | 118 | 15 | 26 | 1316 | 144 | <1 | 15 | 223 | 81 |

ادامه جدول ۳- نتایج تجزیه شیمیابی (XRF) عناصر اصلی و جزئی ۲۵ نمونه از سنگهای بازی منطقه مورد مطالعه

| Sample | Mo ppm | U ppm | Th ppm |
|--------|-----------|----------|-----------|
| AH-1 | <1 | 1 | 15 |
| AH-2 | <1 | 1 | 18 |
| F-1 | <1 | 1 | 6 |
| F-6 | <1 | 1 | 5 |
| F-7 | <1 | 1 | 2 |
| F-8 | <1 | 1 | 4 |
| GH-10 | <1 | 1 | 14 |
| GH-11 | <1 | 1 | 14 |
| GH-12 | <1 | 1 | 16 |
| GH-14 | <1 | 1 | 6 |
| GH-5 | <1 | 1 | 14 |
| GT-1 | <1 | 6 | 26 |
| GT-2 | <1 | 7 | 27 |
| GT-3 | <1 | 14 | 25 |
| GT-5 | <1 | 7 | 30 |
| IL-1 | <1 | 1 | 4 |
| IL-6 | <1 | 1 | 4 |
| MS-2 | <1 | 1 | 19 |
| MS-4 | <1 | 1 | 16 |
| N-4 | <1 | 1 | 7 |
| N-6 | <1 | 1 | 7 |
| T-1 | <1 | 1 | 11 |
| T-3 | <1 | 1 | 7 |
| T-4 | <1 | 1 | 3 |
| T-5 | <1 | 1 | 3 |

ادامه جدول ۳- نتایج تجزیه شیمیابی عناصر جزئی و خاکی کمیاب (REE) ۵ نمونه از سنگهای بازی مورد مطالعه روش ICP-MS

| Sample | La | Pr | Nd | Sm | Eu | Gd | Tb | Dy |
|--------|-------|--------|-------|-------|-------|-------|-------|-------|
| GH-14 | * | * | * | 3.54 | 1.207 | 4.476 | 0.773 | 5.156 |
| GT-1 | 46.41 | 15.022 | 65.01 | 12.86 | 2.66 | 8.159 | 1.026 | 5.508 |
| IL-2 | 100 | 25 | 100 | 15.62 | 3.921 | 9.018 | 1.02 | 5.07 |
| N-6 | 100 | 23.195 | 83.53 | 12.59 | 3.237 | 8.384 | 1.011 | 5.27 |
| T-4 | 92.55 | 20.524 | 76.54 | 12.05 | 3.212 | 8.275 | 1.062 | 5.631 |

| Sample | K | Cs | Li | Ta | Ti | Y |
|--------|-------|-------|-------|------|-------|-------|
| GH-14 | 21085 | * | 18.64 | * | 8333 | 28.93 |
| GT-1 | 28972 | * | 11.62 | 1.78 | 8729 | 26.66 |
| IL-2 | 19342 | 1.212 | 13.14 | 1.99 | 9628 | 22.04 |
| N-6 | 20006 | 1.393 | 13.22 | 2.46 | 10707 | 23.41 |
| T-4 | 21334 | 1.206 | 12.5 | 2.43 | 10275 | 27.02 |

| Sample | Tb | Dy | Ho | Er | Tm | Yb | Lu | Be | Cd | Sb | Sc | Sn |
|--------|-------|-------|-------|-------|-------|------|-------|------|-------|------|-------|------|
| GH-14 | 0.773 | 5.156 | 1.094 | 3.34 | 0.475 | 3.19 | 0.484 | 2.56 | 0.11 | 0.21 | 16.9 | 1.72 |
| GT-1 | 1.026 | 5.608 | 0.993 | 2.624 | 0.343 | 2.22 | 0.311 | 5.82 | 0.129 | 0.32 | 24.71 | 5.93 |
| IL-2 | 1.02 | 5.070 | 0.817 | 1.970 | 0.249 | 1.56 | 0.203 | 2.69 | 0.127 | 0.12 | 18.03 | 1.84 |
| N-6 | 1.011 | 5.270 | 0.891 | 2.192 | 0.272 | 1.73 | 0.229 | 2.53 | 0.124 | 0.14 | 17 | 2.04 |
| T-4 | 1.062 | 5.631 | 0.974 | 2.466 | 0.313 | 1.94 | 0.264 | 2.54 | 0.119 | 0.13 | 19.91 | 2.02 |

کتابنگاری

- حسینی، م.، ۱۳۷۸- نقشه ۱:۱۰۰، ۰۰۰ قروه، سازمان زمین‌شناسی کشور.
- درویش‌زاده، ع.، ۱۳۸۳- آتشفشارها و رخدارهای آتشفشاری، انتشارات دانشگاه تهران، ۵۸۷ صفحه.
- فندی، م.، سیاره، ع. ر.، ۱۳۸۳- نقشه ۱:۱۰۰، ۰۰۰ بیجار، سازمان زمین‌شناسی کشور.
- فندی، م.، ۱۳۷۷- نقشه ۱:۱۰۰، ۰۰۰ تکاب، سازمان زمین‌شناسی کشور.
- قربانی، م.، ۱۳۸۲- مبانی آتشفشاری با نگرشی بر آتشفشارهای ایران، انتشارات آرین زمین، ۳۶۲ صفحه.
- معین وزیری، ح.، احمدی، ع.، ۱۳۷۱- پتروگرافی و پترولوژی سنگهای آذرین، انتشارات دانشگاه تربیت معلم، ۵۳۹ صفحه.
- ملکوتیان، س.، ۱۳۸۴- پتروگرافی و پتروژنی سنگهای آتشفشاری پیلو-کواترنری محور قروه- تکاب، رساله دکتری دانشگاه آزاد اسلامی واحد علوم و تحقیقات.
- وثوقی عابدینی، م.، ۱۳۸۳- مبانی تئوری و عملی کانی‌شناسی نوری، انتشارات آرین زمین، ۲۸۸ صفحه.

References

- Basaltic volcanism study project, 1981- Basaltic Volcanism on the Terrestrial Planets. Pergamon Press.
- Best, Myron G., 2001- Igneous Petrology, W.H. Freeman and Company, New York.
- Carlson, R. W., Hart, W. K., 1988. Flood basalt Volcanism in the north western United States. Continental Flood Basalts, J.D. MacDougall (ed.), Kluwer Academic Publishers, 273-310.
- Cox, K. G., Bell J. D., Pankhurst, R. J., 1979- The Interpretation of Igneous Rocks. Allen and Unwin, London. 450 P.
- DePaolo, D.J. and Wasserburg, G. J., 1979- Nd isotopes in Flood basalts from the Siberian platform and inferences about their mantle sources. Proceedings of National Academy of Science, USA, 76, 3056-3060.
- Nelson, S. A., 2003- Magmatic Differentiation.
www.tulane.edu/~sanelson/geo1212/magmadiff.htm
- Tatsumi and Eggins, 1995- continental crust formation by Complementary accumulation of formation by complementary accumulation of the enriched mantle, Boston, Blackwell Science. 211 P.